

## بررسی رفتار الکتروفیزیکی واریستورهای ترکیبی اکسیدروی-پتاکسیدوانادیم-پلیمر به صورت تابعی از دمای سنتز

جعفرپور ، سمانه؛ محمدی عارف ، ساجده؛ بیدادی، حسن

دانشکده فیزیک، دانشگاه تبریز، بلوار ۲۹ بهمن، تبریز

### چکیده

برای بررسی اثر دمای سنتز بر میکروساختار و خواص الکتریکی واریستورهای کامپوزیتی اکسید روی-پتاکسید وانادیم-پلیمر، چهار نمونه با روش پرس گرم در دماهای سنتز مختلف، تحت فشار ثابت ۰.۶ مگاپاسکال، تهیه شدند. مطالعه مشخصه "جریان-ولتاژ" نمونه‌ها نشان می‌دهد که با افزایش دمای سنتز، جریان نشتی افزایش می‌یابد. همچنین این افزایش به کاهش ولتاژ شکست، خسrib غیرخطی، ارتقای سد پتانسیل و مقاومت الکتریکی نواحی خطی منجر می‌شود. کاهش مساحت حلقه‌ی هیسترزیس، اندازه‌ی متوسط دانه‌ها و فاصله‌ی دانه‌ها از نتایج مهم دیگر افزایش دمای سنتز است.

### Study of electrophysical properties of ZnO-V<sub>2</sub>O<sub>5</sub>-Polymer composite varistors as a function of sintering temperature

Jafarpour, Samaneh; Mohammadi Aref, Sajedeh; Bidadi, Hasan

University of Tabriz, Faculty of Physics, Tabriz, Iran

### Abstract

To study the effect of sintering temperature on microstructure and electrical properties of ZnO-V<sub>2</sub>O<sub>5</sub>-polymer composite varistors, four samples were prepared using hot pressing method at different sintering temperatures and a pressure of 60 MPa. Investigation of (I-V) characteristics of the samples clearly shows that with the increase of sintering temperature, leakage current increases. This increment also results in decrement of breakdown voltage, non-linear coefficient, potential barrier height and electrical resistance of linear areas. The other important consequences of sintering temperatures increase are shrinkage of hysteresis loop, reduction of average grain size and distance of grains, as well.

PACS No. 6835

سدهای بین دانه‌ای، مشخصه "جریان-ولتاژ" غیرخطی و قابلیت جذب انرژی بالایی دارند [۵]. سدهای پتانسیل که سد شاتکی نامیده می‌شوند، حامل‌های بار را با کاهش تحرک آنها و همچنین با افزایش مقاومت نسبی دانه‌ها متوقف می‌سازند. اعمال میدان الکتریکی، حامل‌های بار را وادار به توپلزنی از سد پتانسیل می‌نماید [۶]. جهت تسهیل فرایند پخت واریستور و بهینه سازی رفتار الکتریکی آن، از کامپوزیت کردن اکسیدروی با مواد پلیمری استفاده می‌شود. پلی‌آنیلین به تنها‌ی رفتار الکتریکی کاملاً اهمی دارد و

### مقدمه

رفتار غیرخطی بسیاری از اکسیدهای سرامیکی در مقابل افزایش جریان یا ولتاژ، پدیده‌ای است که کاربرد گسترده‌ای در ساخت واریستورها، دستگاه‌های نیمه‌رسانا و سنسورهای گازی دارد [۲-۱]. واریستورهای اکسیدروی، به دلیل داشتن خواص ساده و متمایز به طور گسترده برای محافظت مدارها و قطعات الکترونیکی دربرابر جریان‌های گذرا و فوق ولتاژها استفاده می‌شوند [۴-۳]. واریستورهای اکسیدروی به خاطر طبیعت بسیاری بسیار زیاد

دماهی سنتز مختلف ۷۰ و ۹۰ و ۱۱۰ و ۱۳۰ درجه سانتی گراد تهیه شدند. برای مطالعه خواص الکتریکی، نمونه بین دو الکترود مسی به قطر ۶ میلیمتر قرار داده شد و با اعمال ولتاژ مستقیم به نمونه، جریان گذرنده از آن اندازه گیری گردید. دقت اندازه گیری ولتمتر ۱ ولت و برای آمپر متر ۱۰۰۰ میلی آمپر است. همچنین با افزایش ولتاژ به بالاتر از ولتاژ شکست و کاهش آن به صفر، حلقه‌ی هیسترزیس نمونه‌ها رسم شد. برای بررسی خواص ساختاری نمونه‌ها، از طیف پراش اشعه X گرفته شده توسط دستگاه D500X-ray, siemens CU-K<sub>α</sub> radiation تبریز تهیه شد. برای بررسی ریزساختار نمونه‌ها از تصاویر SEM گرفته شده توسط دستگاه TESCAN MIRA3 موجود در دانشگاه تبریز استفاده شد.

## نتایج و بحث

بررسی شکل ظاهری نمونه‌ها با استفاده از میکروسکوپ نوری نشان می‌دهد که با افزایش دماهی سنتز و نزدیک شدن به دماهی ذوب پلی‌اتیلن، استحکام مکانیکی نمونه‌ها افزایش می‌یابد. همانطور که شکل ۱ نشان می‌دهد مشخصه‌ی "جریان-ولتاژ" یک واریستور دارای سه ناحیه‌ی پیش از شکست، شکست یا ناحیه‌ی غیرخطی، بعد از شکست می‌باشد. در ناحیه‌ی غیرخطی که مهمترین ناحیه‌ی می‌باشد، رفتار الکتروفیزیکی واریستور با رابطه‌ی زیر بیان می‌شود:

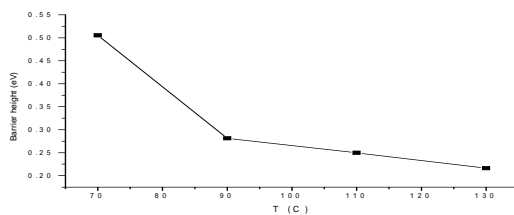
$$I=KV^{\alpha} \quad (1)$$

در این رابطه،  $\alpha$  ضریب غیرخطی و K یک ثابت است [۱۰]. همانطور که شکل ۱ نشان می‌دهد با افزایش دماهی سنتز، جریان نشتی نمونه‌ها افزایش می‌یابد. پیش بینی می‌شود که نمونه‌های با جریان نشتی بالاتر، طول عمر کمتری داشته باشند. ولتاژ شکست واریستورهای مورد مطالعه، با افزایش دماهی سنتز مطابق شکل ۲ کاهش می‌یابد. همچنین، شکل ۲ نشان می‌دهد که با افزایش دماهی سنتز، ضریب غیر خطی نمونه‌ها به صورت خطی کاهش می‌یابد. این ضریب از طریق شب منحنی (lnI<sub>1</sub>-lnV) محاسبه می‌شود. همچنین، محاسبه مقاومت الکتریکی در نواحی خطی قبل و بعد از

واریستورهای ساخته شده از اکسیدروی-پلی‌آتیلن استحکام مکانیکی ضعیفی داشته و بسیار شکننده هستند. یکی از راهکارهای غلبه بر این ضعف، استفاده از پلیمرهای گرمایش در ساختار واریستور است. پلی‌اتیلن یکی از انواع این پلیمرهای است که بدلیل داشتن دماهی ذوب مناسب، بسیار مورد توجه است. پلی‌اتیلن کاملاً عایق است و اگر به تنها یابی به عنوان فاز بین دانه‌ای استفاده شود، سد پتانسیل بزرگ بوده و امکان تونل‌زنی حامل‌ها وجود نخواهد داشت [۷]. اخیرا در واریستورهای اکسیدروی از اکسیدوانادیم به عنوان ماده‌ی افزودنی استفاده می‌شود. سرامیک‌های بر پایه‌ی ZnO-V<sub>2</sub>O<sub>5</sub> به مواد افزودنی و فرآیند پخت خاص نیاز دارند تا رفتار غیر خطی بهتری ارائه دهند. بررسی تاثیر فرآیند پخت روی خواص الکتریکی و پایداری سرامیک‌های واریستوری ساخته شده با ترکیب مشخص، ضروری است [۸]. تاثیر افزودن همزمان پلیمر و V<sub>2</sub>O<sub>5</sub> بحثی است که تاکنون در کارهای پژوهشی به آن پرداخته نشده است از طرفی وابستگی رفتار واریستورها به شرایط تهیه آنها باعث می‌شود که پارامترهای زیادی در مورد آنها قابل بررسی باشد. در این کار تجربی، تاثیر دماهی سنتز بر میکروساختار و خواص الکتروفیزیکی واریستورهای ZnO-V<sub>2</sub>O<sub>5</sub>-Polymer بررسی شده است.

## مواد و روش‌ها

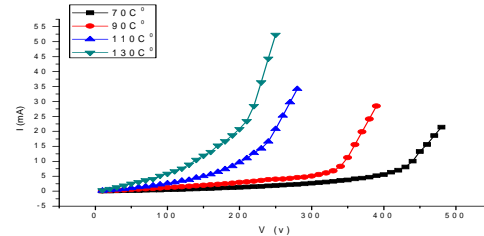
برای تهیه نمونه‌ها از اکسیدروی، پلی‌آتیلن با چگالی بالا و پتا اکسید وانادیم استفاده شده است. جهت آماده سازی مواد اولیه ابتدا پلی‌آتیلن به رنگ سبز زمردی و به صورت پودری سنتز شد [۹]. سپس اکسیدروی در هاون آسیاب شده و به مدت دو ساعت تحت دماهی ۷۰۰ درجه سانتی گراد قرار گرفت. تمام مواد با الک شماره مش ۲۰۰ غربال شدند تا قطر ذرات آن‌ها کوچکتر از ۷۴ میکرون گردد. یک واریستور کامپوزیتی خوش رفتار زمانی ساخته می‌شود که اکسید روی، پلی‌آتیلن و پتا اکسید وانادیم به ترتیب نسبت ۷۹٪، ۸٪ و ۵٪ ترکیب شوند. مواد ترکیب شده به مدت ۳۶ ساعت مخلوط شدند تا از نظر توزیع ذرات یکنواخت شوند. نمونه‌ها به روش پرس گرم با استفاده از قالبی با قطر ۱۰ mm تحت فشار پرس ثابت ۶۰ MPa در چهار



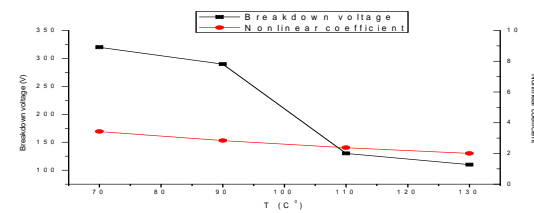
شکل ۴: تغییرات ارتفاع سد پتانسیل با افزایش دمای سترز.

در طول مدت زمان کاری، یک واریستور ممکن است تحت شرایط مختلفی مانند فوق ولتاژ یا رطوبت قرار گیرد که همه‌ی این عوامل روی طول عمر و کارکرد بهینه‌ی آن اثر می‌گذارد. یکی از روش‌های تخمین کیفی طول عمر واریستور بررسی مساحت منحنی پسماند است، هر چه مساحت منحنی پسماند بزرگتر باشد اتفاق انرژی آن بیشتر بوده و طول عمر آن کمتر است. منحنی‌های پسماند نمونه‌های تهیه شده در دماهای سترز مختلف در شکل ۵ نشان داده شده است. ملاحظه می‌شود که با افزایش دمای سترز مساحت منحنی‌ها کاهش می‌یابد. بنابراین، طول عمر واریستور افزایش می‌یابد. مکانیسم پسماند این گونه است که با اعمال میدان و افزایش آن دو قطبی‌ها به تدریج در راستای میدان آرایش می‌یابند. ولی با کاهش میدان الکتریکی، تعدادی از دو قطبی‌ها به علت وجود ناکاملی‌های بلوری همچنان در راستای میدان الکتریکی باقی می‌مانند. تعداد دو قطبی‌های باقی مانده در راستای میدان مسئول به وجود آمدن پسماند است. رفتار متفاوت نمونه‌ها در دماهای سترز مختلف با استفاده از تصاویر SEM قابل توجیه است. این تصاویر ساختار نمونه‌ها از نظر نحوی توزیع دانه‌ها، اندازه‌ی دانه‌ها و فاصله‌ی آنها را نشان می‌دهد (شکل ۶). پلی‌آنیلین و پتاکسید وانادیم مسئول رفتار غیر خطی نمونه‌ها هستند و پلی‌اتیلن موجب استحکام بخشیدن به نمونه‌ها می‌شود. ملاحظه می‌شود که با افزایش دمای سترز، اندازه‌ی متوسط دانه‌ها کاهش می‌یابد. یعنی دمای سترز می‌تواند تاثیر قابل ملاحظه‌ای روی اندازه‌ی دانه‌ها داشته باشد. همچنین با افزایش دمای سترز، پلی‌اتیلن به دمای ذوب خود نزدیک می‌شود و حالت خمیری پیدا می‌کند و باعث می‌شود که دانه‌های اکسیدروی بهتر بتوانند داخل ماتریس پلیمری حرکت کنند و به هم‌دیگر نزدیک شوند و فاصله‌ی بین دانه‌ها کاهش می‌یابد. در نتیجه با کاهش اندازه‌ی متوسط دانه‌ها و

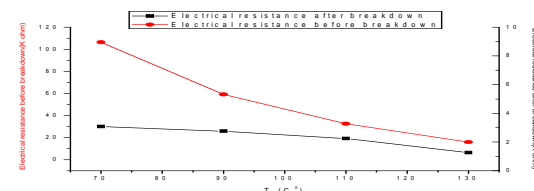
شکست نشان میدهد که با افزایش دمای سترز مقاومت نمونه‌ها در هر دو ناحیه کاهش می‌یابد (شکل ۳).



شکل ۱: منحنی جریان-ولتاژواریستورهای کامپوزیتی در دماهای سترز مختلف.



شکل ۲: تغییرات ولتاژ شکست و ضریب غیرخطی با افزایش دمای سترز.

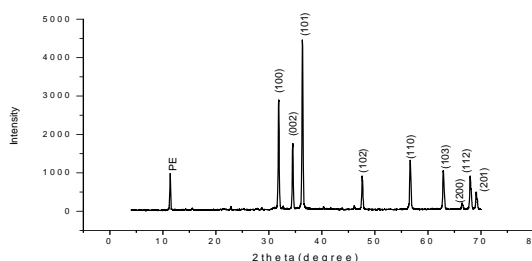


شکل ۳: تغییرات مقاومت نمونه‌ها در نواحی قبل و بعد از شکست با افزایش دمای سترز.

برای محاسبه ارتفاع سد پتانسیل، از مدل پیانارو در ساز و کار هدایت از نوع شاتکی استفاده شد [۶]. طبق این مدل رابطه‌ی بین چگالی جریان (j) و میدان الکتریکی (E) از رابطه‌ی زیر به دست می‌آید:

$$j = AT^2 \exp [(\beta E^{0.5} - \phi_B) / kT]$$

که در آن A ثابت ریچاردسون و  $\phi_B$  ارتفاع سد پتانسیل و  $\beta$  ثابتی است که به عرض سد پتانسیل وابسته است و T دمای اتاق است. ارتفاع سد پتانسیل نمونه‌ها که به استفاده از عرض مبدأ نمودار (InI-I<sup>0.5</sup>) قابل محاسبه است با افزایش دمای سترز، متناسب با معکوس دما، کاهش می‌یابد (شکل ۴).



شکل ۷: طیف اشعه‌ی ایکس پودر اولیه تهیه کننده نمونه‌ها

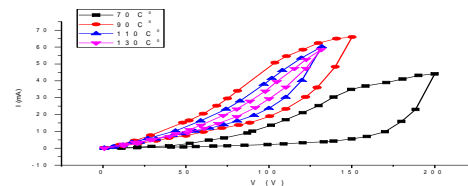
### نتیجه گیری

با افزایش دمای سنتز استحکام مکانیکی نمونه‌ها بهبود می‌یابد. همچنین با افزایش دمای سنتز، ضریب غیر خطی، ولتاژ شکست، مقاومت الکتریکی نواحی خطی و ارتفاع سد پتانسیل کاهش می‌یابد. در مقابل جریان نشتی نمونه‌ها افزایش پیدا می‌کند. همچنین، افزایش دمای سنتز منجر به کاهش مساحت منحنی پسماند شده و طول عمر افزایش می‌یابد. تصاویر SEM نشان می‌دهند که این تغییرات خواص الکتروفیزیکی نمونه‌ها با افزایش دمای سنتز، به علت کاهش اندازه‌ی متوسط دانه‌ها و کاهش فاصله آن‌ها صورت می‌گیرد.

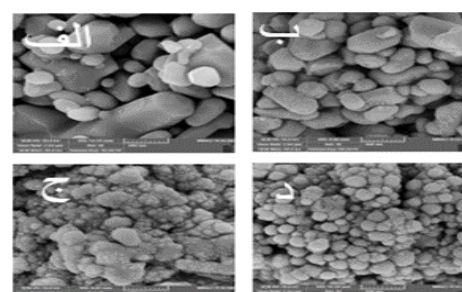
### مرجع‌ها

- [۱] Mahan, Grn D., Lionel M. Levinson, and Herbert R. Philipp. "Theory of conduction in ZnO varistors." *Journal of Applied Physics*, **50**.4 (1979): 2799-2812.
- [۲] Vanadamme, L. K. J., and J. C. Brugman. "Conduction mechanisms in ZnO varistors", *Journal of Applied Physics*, **51**.8 (1980): 4240-4244.
- [۳] Xu, Dong, et al. "Sintering process as relevant parameter for Bi<sub>2</sub>O<sub>3</sub> vaporization from ZnO-Bi<sub>2</sub>O<sub>3</sub>-based varistor ceramics." *Transactions of Nonferrous Metals Society of China*, **19**.6 (2009): 1526-1532.
- [۴] XU Dong, SHI Xiao-feng, CHENG Xiao-nong, YANG Juan, FAN Yue-e, YUAN Hong-ming, SHI Li-yi. "Microstructure and electrical properties of Lu<sub>2</sub>O<sub>3</sub>-doped ZnO-Bi<sub>2</sub>O<sub>3</sub>-based varistor ceramics" [J]. *Transactions of Nonferrous Metals Society of China*, 2010, 20(12).
- [۵] Kazuo Eda,"Zinc Oxide Varistor", *IEEE Insulation Magazine*, **5**, 28-41, 1989.
- [۶] P. Singh, A. Kumar, A. Kaushal, D. Kaur, A. Pandey, R. Goyal, "In situ high temperature XRD studies of ZnO nanopowder prepared via cost effective ultrasonic mist chemical vapour deposition", *Bulletin of Materials Science*, **31**, 573 - 577, 2008.
- [۷] محمد غفوری، پایان‌نامه دکتری، دانشکده فیزیک (۱۳۹۳).
- [۸] Tsai J-K, Wu T-B, "Non -ohmic characteristics of ZnO-V<sub>2</sub>O<sub>5</sub> ceramics", *J Appl Phys*, 1994; 76:4817-22.
- [۹] Y. Cao, A. Andreatta, A. J. Heeger, P. Smith, *PolymerJournal*, **30**, (1989) 2305 - 2311.
- [۱۰] M. Matsuoka, "Non-ohmic Properties of Zinc Oxide Ceramics", *Jpn. J. Appl. Phys.* **10**, 736-746, 1971.

نزدیک شدن دانه‌ها به هم، مسیر متوسطی که حاملین بار بین دو مرز طی می‌کنند، کاهش می‌یابد. این فرایند به کاهش مقاومت قبل از شکست و افزایش جریان نشتی می‌انجامد. این نتیجه با آنچه که از محاسبه‌ی ارتفاع سد پتانسیل به دست آمد در توافق کامل است. تصاویر XRD تهیه شده از پودر اولیه نمونه‌ها در شکل ۷ نشان می‌دهد که شدیدترین پیک‌ها برای اکسید روی است، زیرا بیشترین درصد پودر اولیه را شامل می‌شود و ضعیفترین پیک‌ها که به سختی قابل تشخیص هستند، مربوط به پتا اکسید وانادیوم است زیرا کمترین درصد پودر اولیه را داراست. همچنین اولین پیک شدید مربوط به پلی‌اتیلن است، با توجه به اینکه، پلی‌اتیلن ساختار کریستالی ندارد، برای آن از اندیس میلر استفاده نمی‌شود. درواقع این تصاویر بر این واقعیت تاکید دارند که در ساختار نهایی، ماده ترکیبی وجود نداشته و ریزساختار خاص کامپوزیتی منجر به این رفتار غیرخطی شده است، (شکل ۷).



شکل ۵: منحنی هیسترزیس واریستورهای کامپوزیتی در دماهای سنتز مختلف.



شکل ۶: تصویر SEM نمونه‌های تهیه شده (الف) در دمای ۷۰°C (ب) در دمای ۹۰°C (ج) در دمای ۱۱۰°C (د) در دمای ۱۳۰°C